

05;11;12

©1995 г.

**О РАСПРЕДЕЛЕНИИ КОМПОНЕНТОВ В ПЛЕНКАХ
МЕТАЛЛООКСИДНЫХ СВЕРХПРОВОДНИКОВ,
ПОЛУЧЕННЫХ МЕТОДОМ
МАГНЕТРОННОГО РАСПЫЛЕНИЯ**

К.Ф.Някшев, А.П.Митрофанов, Р.А.Чакалов, С.Ф.Карманенко

Санкт-Петербургский государственный электротехнический университет,
197376, Санкт-Петербург, Россия
(Поступило в Редакцию 14 марта 1994 г.)

Введение

Метод магнетронного распыления (МР) является одним из эффективных технологических методов, применяемых для выращивания пленок высокотемпературных сверхпроводников (ВТСП). При параллельном расположении керамической мишени Y-Ba-Cu-O и подложки (on-axis — конфигурация) [1,2] было установлено, что профиль распределения катионных компонентов вдоль радиальной координаты по подложке имеет существенные неоднородности [3,4]. Выяснение причин наблюдаемых неоднородностей представляет научный и практический интерес.

В настоящей работе были проведены эксперименты по МР мишней $\text{YBa}_2\text{Cu}_3\text{O}_{7-\delta}$ и $\text{Bi}_2\text{Sr}_2\text{Ca}_2\text{Cu}_3\text{O}_z$ и аналитические исследования пленок. Предложено объяснение физических механизмов, приводящих к указанным неоднородностям, на основе сравнения радиальных профилей распределения толщины пленок и концентрации катионных компонентов для двух металлооксидных систем.

Экспериментальные результаты

Мишень $\text{YBa}_2\text{Cu}_3\text{O}_{7-\delta}$ диаметром 76 мм подвергалась магнетронному распылению на постоянном токе в смеси Ar и O_2 . Газ подавался в камеру таким образом, что при общем давлении $P = 7 \dots 12$ Па отношение их парциальных давлений составляло $P(\text{O}_2)/P(\text{Ar}) = 0.25 \dots 0.3$. Распыление производилось при токе разряда $I \cong 350$ мА и напряжении $U \cong 160$ В в течение 2.5 ч. Нагрев подложек осуществлялся только

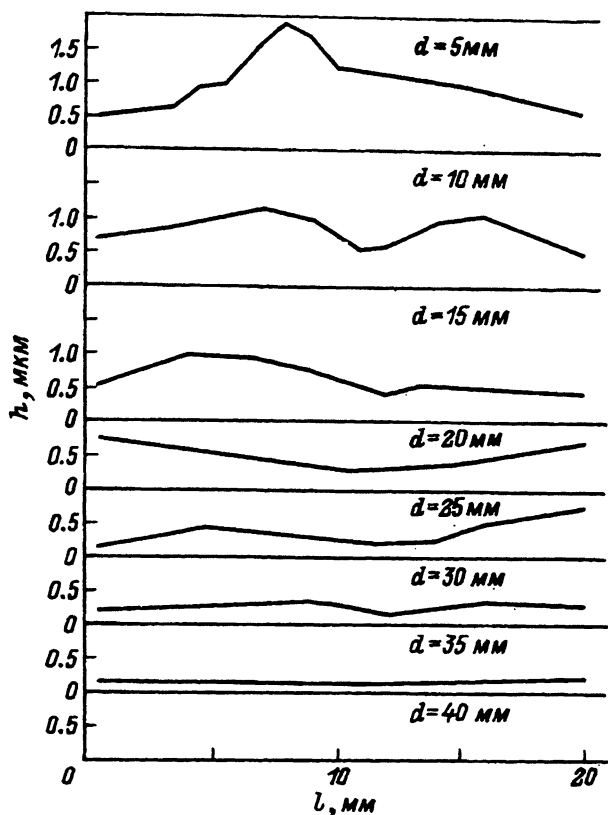


Рис. 1. Распределение толщины пленок Y-Ba-Cu-O вдоль радиальной координаты подложкодержателя l .

Пленки были получены при различных расстояниях мишень–подложка d и температуре подложки $\sim 200^\circ\text{C}$.

за счет взаимодействия с плазмой разряда, и температура подложки составляла $T \simeq 200^\circ\text{C}$. Распределения по толщине пленок были получены при различных расстояниях мишень–подложка. После нанесения пленок на подложки из Al_2O_3 на пленке формировалась “ступенька” методом фотолитографии и измерялась ее толщина h с помощью интерференционного микроскопа и микропрофилометра. Количественное содержание компонентов, их атомная концентрация и радиальное распределение определялись методом рентгеноспектрального микронализа (РМА).

Результаты измерений толщины пленок Y-Ba-Cu-O, осажденных при различных расстояниях мишень–подложка, показаны на рис. 1. Анализ результатов позволяет сделать следующие выводы.

При расстоянии мишень–подложка $d = 5$ мм неоднородность распределения толщины для формирующейся пленки проявляется в наличии максимума под зоной эрозии подобно распределению толщины пленок при магнетронном распылении таких металлов, как Cu, Al. При расстоянии $d = 10$ мм появляется минимум, находящийся в прямой проекции зоны эрозии мишени. Этот минимум свидетельствует об усилении эффекта пераспыления растущей пленки отрицательно заряженны-

ми ионами и высокоэнергетичными нейтральными частицами. Практически полная термализация атомного потока и потока бомбардирующих пленку ионов происходит при расстоянии мишень–подложка 30–35 мм. Это следует из того, что толщина пленок, находившихся в прямой проекции зоны распыления, практически равна толщине пленок, сформированных в других участках подложкодержателя. Как описано ранее в работе [5], пленки Y–Ba–Cu–O сильно подвержены воздействию плазмы тлеющего разряда. Присутствие Ba приводит к сильным неоднородностям. Это обусловлено тем, что Ba способен формировать отрицательно заряженные комплексы BaO^- как в процессе распыления, так и при транспорте атомов Ba от мишени к подложке. Если принять, что эффект перераспыления пленки отрицательными ионами завершается при $d = 35$ мм, то, учитывая, что $p_\Sigma = 7$ Па, можно определить значение эффективной длины термализации отрицательных ионов $p_\Sigma \cdot d \approx 0.18$ Тор·см. Расчетные оценки для термализации тяжелых комплексов BaO дают значение 0.4 Тор·см [4]. Комплексы типа BaO и, вероятно, Ba–Cu–O способны вызывать перераспыление пленки и, имея большое значение внутренней энергии, могут не вступать во взаимодействие с подложкой и формирующейся пленкой. Дополнительный нагрев формирующейся пленки плазмой разряда способствует удалению барийсодержащих комплексов с поверхности подложки. Типичное распределение катионных комплексов по подложке, полученное при MP мишени $YBa_2Cu_3O_{7-\delta}$ ($p_\Sigma = 7$ Па, $d = 20$ мм), показано на рис. 1.

На рис. 2, представлены профили распределения катионных компонентов в пленках Bi–Sr–Ca–Cu–O по подложке, полученные при тех же технологических режимах, что и распределения для системы Y–Ba–Cu–O. Полученное для системы Bi–Sr–Ca–Cu–O распределение отличается тем, что в нем отсутствуют участки с сильной неоднородностью концентрации элементов. Различные участки подложки, расположенные в прямой проекции зоны эрозии и при $r > 10$ мм, имеют практически одинаковое соотношение концентрации элементов, близкое к составу 2:2:2:3.

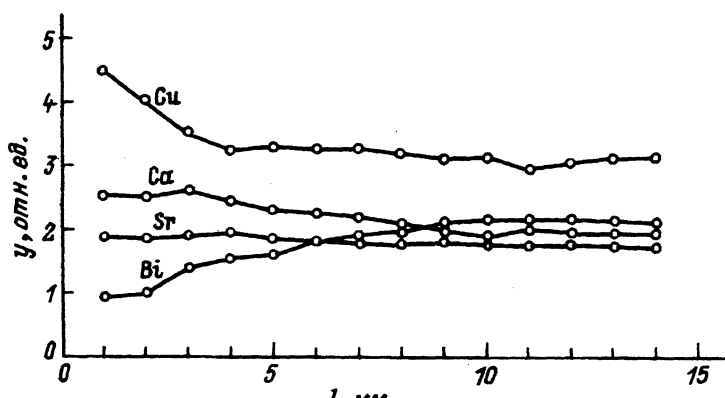


Рис. 2. Зависимость стехиометрического индекса Y катионных компонентов в пленках Bi–Sr–Ca–Cu–O от координаты на подложке l относительно осевого центра магнетронной распылительной системы.

Осаждение производилось на подложку MgO при температуре 600 °C.

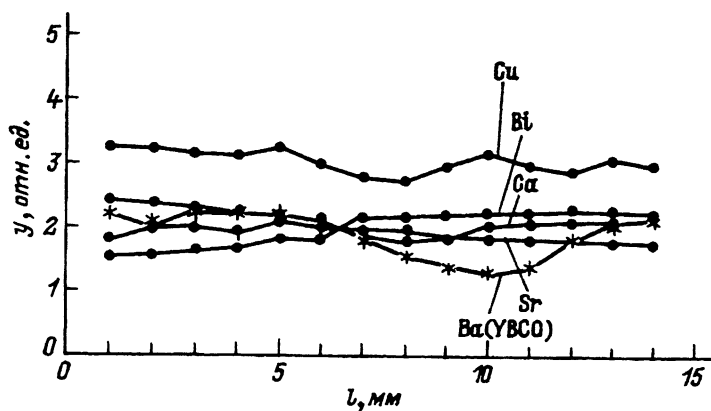


Рис. 3. Зависимость стехиометрического индекса Y катионных компонентов в пленках $\text{Bi}-\text{Sr}-\text{Ca}-\text{Cu}-\text{O}$ от координаты на подложке l относительно осевого центра магнетронной распылительной системы.

Осаждение производилось на подложку MgO при температуре 320 $^{\circ}\text{C}$. Для сравнения приведен профиль распределения Ba (*) в пленке $\text{Y}-\text{Ba}-\text{Cu}-\text{O}$, полученной при тех же технологических условиях ($T_s = 320$ $^{\circ}\text{C}$).

На рис. 3 представлено сравнительное распределение $C_{\phi}(r)$, полученное при температуре подложек ≈ 620 $^{\circ}\text{C}$, $p_{\Sigma} = 7$ Па, $d = 20$ мм. Линия Ba соответствует измерениям концентрации бария в пленках, осажденных при распылении мишени $\text{Y}-\text{Ba}-\text{Cu}-\text{O}$, а остальные линии — измерениям концентрации компонентов при распылении мишени $\text{Bi}-\text{Sr}-\text{Ca}-\text{Cu}-\text{O}$. Характерный минимум зависимости концентрации Ba находится в прямой проекции зоны эрозии мишени.

Эффективным способом нейтрализации обратного распыления растущей пленки высокоэнергетичными ионами и частицами является распыление при высоких рабочих давлениях (больше 50 Па), но при этом скорость роста существенно уменьшается. Расположение подложек в сторону от пути высокоэнергетичных частиц, например, когда плоскости мишени и подложкодержателя перпендикулярны (off-axis схема) или когда мишень цилиндрическая, а подложкодержатель располагается в плоскости торца, тоже позволяет сильно уменьшить эффект рераспыления и неравномерность растущей пленки [6–8].

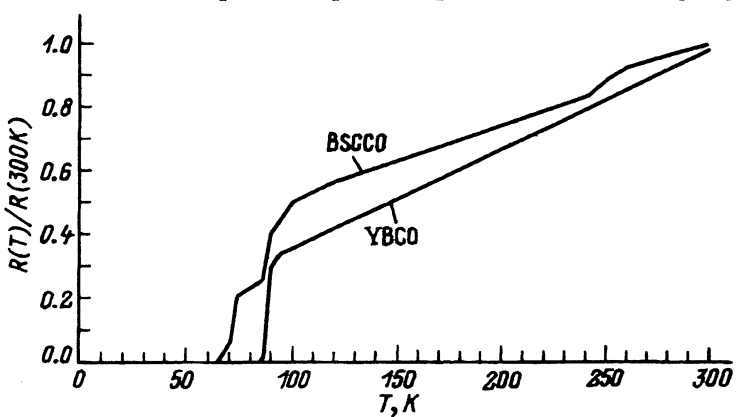


Рис. 4. Температурная зависимость сопротивления в области перехода в сверхпроводящее состояние пленок $\text{Y}-\text{Ba}-\text{Cu}-\text{O}$ и $\text{Bi}-\text{Sr}-\text{Ca}-\text{Cu}-\text{O}$.

В результате проведенных исследований были определены наилучшие геометрия распылительной on-axis системы и технологические факторы, получены пленки $\text{YBa}_2\text{Cu}_3\text{O}_{7-\delta}$ с высокими сверхпроводящими свойствами ($T_c = 86 - 90$ К, $J_c \sim 10^6$ А/см²) на подложках с MgO с гетероэпитаксиальным слоем BaSrTiO₃ размером до 20 × 20 мм. Стехиометрическая мишень $\text{YBa}_2\text{Cu}_3\text{O}_{7-\delta}$ распылялась в среде Ar(65%) + O₂(35%) при общем давлении $p_\Sigma \approx 50$ Па и температуре подложек 670 °C, скорость осаждения составляла ≈ 2 нм/мин, после окончания процесса осаждения в камеру напускался кислород до давления ≈ 10³ – 10⁴ Па и осуществлялась выдержка в течение 20 мин при температуре ≈ 450 – 500 °C с последующим постепенным охлаждением в течение 30 мин. В тех же технологических условиях были получены и пленки состава Bi–Sr–Ca–Cu–O при распылении мишени $\text{Bi}_2\text{Sr}_2\text{Ca}_2\text{Cu}_3\text{O}_z$ и температуре подложек 590 °C и $p_\Sigma = 10$ Па. Скорость роста при этом составляла ≈ 5 нм/мин. На рис. 4 приведены зависимости относительного сопротивления от температуры в области перехода в сверхпроводящее состояние пленок Y–Ba–Cu–O и Bi–Sr–Ca–Cu–O. Наличие двух переходов на зависимости $R(T)$ для состава Bi–Sr–Ca–Cu–O связано с многофазностью пленок. Известно, что это соединение образует три фазы с соотношением катионных компонентов 2:2:2:3 ($T_c \approx 110$ К), 2:2:1:2 ($T_c \approx 80$ К) и 2:2:0:1 ($T_c \approx 20$ К) [8]. Следует отметить, что пленки Bi–Sr–Ca–Cu–O обладали лучшей однородностью по электрофизическим свойствам в сравнении с пленками Y–Ba–Cu–O.

Выводы

Изучение однородности распределения толщины пленок и катионного состава при магнетронном распылении металлооксидных мишеней Bi–Sr–Ca–Cu–O и Y–Ba–Cu–O показало их существенное различие, которое обусловлено различием химических свойств щелочноzemельного компонента. Барий характеризуется наименьшей электроотрицательностью по Полингу $\chi = 0.9$ [9], и его способность образовывать химические соединения с Cu и O₂, как и степень ионности связи ($\Delta\chi$), выше по сравнению с комплексом Ba–Y и аналогичными Sr-содержащими комплексами. Величина $\Delta\chi$ пропорциональна внутренней энергии соединения и обратно пропорциональна его свободной энергии, т.е. способности к хемосорбции. С ростом температуры возрастает десорбционная способность слабо связанных с подложкой химических соединений, в первую очередь фазы BaCuO₂. Данное предположение подтверждается тем, что при возрастании температуры подложки в процессе нанесения пленок Y–Ba–Cu–O и Bi–Sr–Ca–Cu–O значительно возрастает концентрация Y и в меньшей мере Bi, а снижается Ba, Cu, Sr и Ca соответственно, что подтверждается в работах [8, 10].

Таким образом, причинами, приводящими к неоднородности профиля распределения элементов в пленках Y–Ba–Cu–O, является не только воздействие отрицательных ионов кислорода и BaO, но и температурно-активируемая десорбция химических соединений, в основном содержащих Ba и O₂. Аналогичные соединения SrO не оказывают столь существенного эффекта на рост металлооксидных пленок Bi–Sr–Ca–Cu–O.

Список литературы

- [1] Schieber M. // J. Cryst. Growth. 1991. Vol. 109. N 1/4. P. 401–417.
 - [2] Данилин Б.С. // Итоги науки и техники. Сер. Электроника. М.: ВИНИТИ, 1990. Т. 26. С. 133–170.
 - [3] Hoshi Y., Naoe M. // IEEE Trans. on Magn. 1989. Vol. 25. P. 3518–3520.
 - [4] Vendik O.G., Hollmann E.K., Kozyrev A.B., Zaitsev A.G. // Proc. of III German-Soviet Bilateral Seminar on High-Temperature Superconductivity. Karlsruhe, 1990. P. 469–475.
 - [5] Карманенко С.Ф., Митрофанов А.П., Някшев К.Ф. // Изв. ЛЭТИ. 1991. Вып. 437. С. 33–37.
 - [6] Selinder T.I., Larsson G., Helmersson U., Rudner S. // J. Appl. Phys. 1991. Vol. 69. N 1. P. 390–395.
 - [7] Vassenden F., Linker G., Geerk J. // Physica C. 1991. Vol. 175. P. 566–572.
 - [8] Chin T.S., Lin S.L., Tien C., Huang T.W., Hung M.P. // Supercond. Sci. Technol. 1990. Vol. 3. P. 302–305.
 - [9] Соколовская Е.М., Гузей Л.С. Металлохимия. М., 1986. 264 с.
 - [10] Arikawa T., Itozaki H., Harada K. et al. // Jap. J. Appl. Phys. 1990. Vol. 29(12). P. L2199–L2202.
-